

ZHAN

1.

2

1. Manjin

2. Manjin

U b

P53

Wang C L, Ye X

Bulletin of Chinese

Abstract: Zircon U-Pb dating was performed on zircon rims and cores from a garnet-bearing granular gneiss sample. The rim blocks crystallized mainly derived from the melt. Based on a comprehensive study of rocks in Qiaogang with a superposition of the consequences in geological evolution, it had never incorporated

Key words: Zircon; Ne

60x

2013-12-02

201

1968-

2013-12-02

1968-

2013-12-02

1968-

c Ic II d

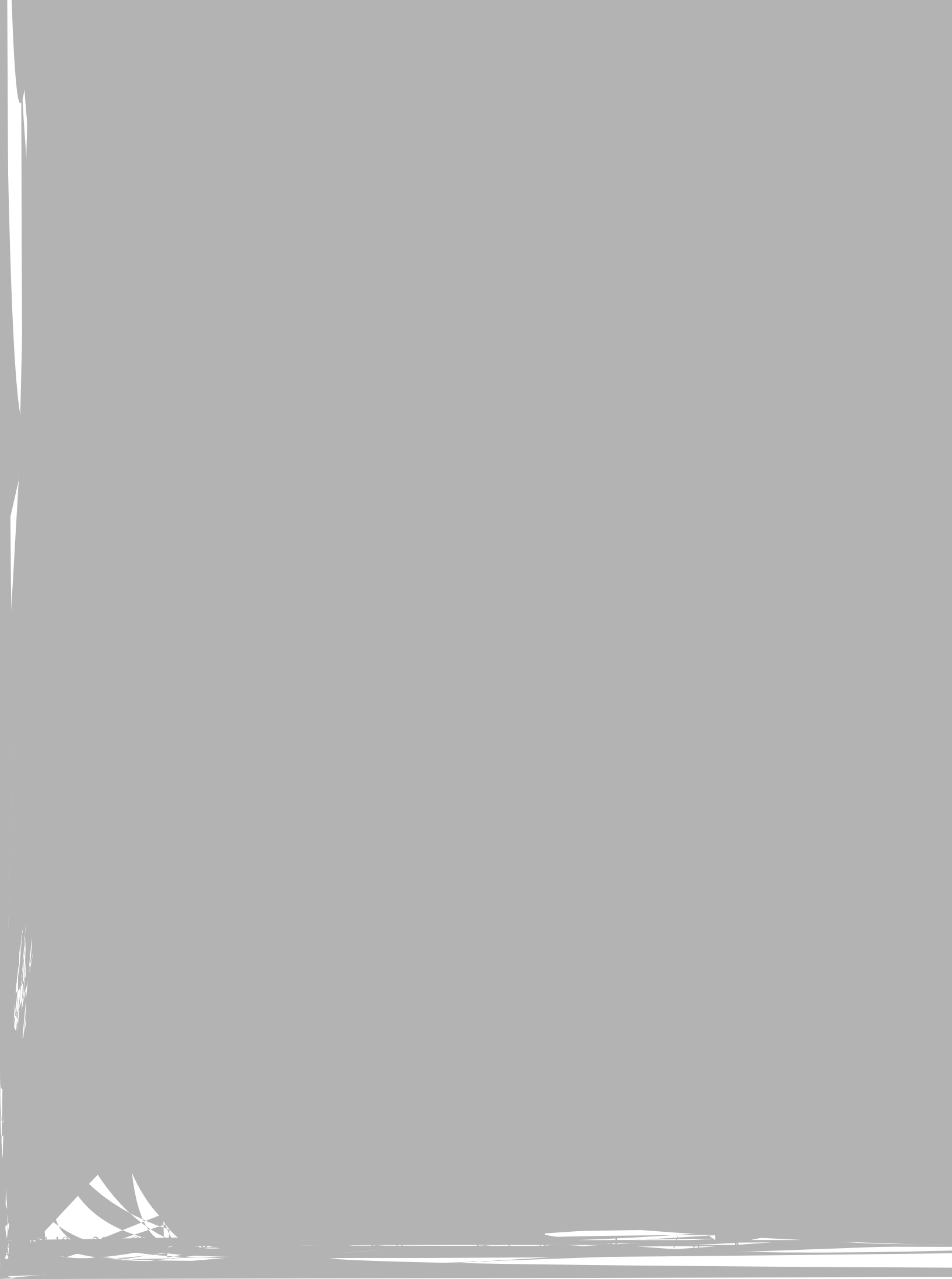
gram of zircon in a leprophytic gneiss
from Chugitash area of Taimyr Peninsula

M+

U-Th-Pb
U-Th-Pb isotopic data of zircons form Neoproterozoic
eldspar granite and granodiorite in Quruqtagh area

$^{206}\text{Pb}/^{238}\text{U}$	/%	$^{207}\text{Pb}/^{235}\text{U}$	/%	$^{206}\text{Pb}/^{238}\text{U}$		$^{207}\text{Pb}/^{235}\text{U}$		$^{207}\text{Pb}/^{206}\text{Pb}$	
				/Ma	1	/Ma	1	/Ma	1
0.1031	0.44	0.8624	1.08	632	3	631	7	628	22
0.1016	0.43	0.8450	1.56	624	3	622	10	615	34
0.1028	0.48	0.8510	1.60	631	3	625	10	605	34
0.1030	0.63	0.8714	1.38	632	4	636	9	652	29
0.1029	0.70	0.8553	2.16	632	4	628	14	612	45
0.1030	0.72	0.8709	1.31	632	5	636	8	650	27
0.1026	0.76	0.8689	1.41	629	5	635	9	653	28
0.1025	0.82	0.8425	2.09	629	5	621	13	588	45
0.1024	0.85	0.8662	2.43	628	5	634	15	652	48
0.1023	0.89	0.8635	1.49	628	6	632	9	646	30
0.1028	0.66	0.8720	1.76	631	4	637	11	657	36
0.1025	0.54	0.8695	1.10	629	3	635	7	658	23
0.1021	0.74	0.8646	1.28	626	5	633	8	655	27
0.1024	0.76	0.8735	1.37	629	5	637	9	669	28
0.1033	0.57	0.8577	1.58	634	4	629	10	611	34
0.1035	0.54	0.8729	1.11	635	3	637	7	646	23
1032	0.56	0.8730	2.01	633	4	637	13	651	42
1038	0.59	0.8763	1.12	636	4	639	7	648	23
1028	0.62	0.8721	1.18	631	4	637	8	658	25
1030	0.49	0.8674	1.07	632	3	634	7	643	23
1022	0.63	0.8704	0.92	627	4	636	6	667	19
1019	0.56	0.8631	2.50	626	4	632	16	654	52
1021	0.54	0.8609	2.51	627	3	631	16	644	53
1020	0.65	0.8616	1.04	626	4	631	7	649	25
1032	0.65	0.8703	1.87	633	4	636	12	644	38
028	0.74	0.8779	0.88	631	5	640	6	671	17
030	0.60	0.8785	1.02	632	4	640	7	669	21
038	0.56	0.8771	0.88	636	4	639	6	650	18
030	0.60	0.8795	0.84	632	4	641	5	671	17
033	0.60	0.8732	0.86	634	4	637	5	651	17
028	0.69	0.8642	0.89	631	4	632	6	638	17
031	0.52	0.8707	0.85	633	3	636	5	647	17
030	0.48	0.8624	0.82	632	3	631	5	630	17
027	0.45	0.8619	0.86	630	3	631	5	634	18
029	0.40	0.8647	0.80	631	3	633	5	638	17
028	0.47	0.8638	0.88	631	3	632	6	637	18
024	0.52	0.8669	2.14	628	3	634	14	654	44
026	0.54	0.8731	1.35	630	3	637	9	664	27
027	0.49	0.8653	0.92	630	3	633	6	644	19
024	0.39	0.8640	0.95	629	2	632	6	645	20
025	0.39	0.8621	1.02	629	2	631	6	640	22
026	0.40	0.8671	0.80	630	3	634	5	649	16
25	0.39	0.8660	0.85	629	2	633	5	649	18
28	0.46	0.8725	0.95	631	3	637	6	658	19
27	0.45	0.8680	0.78	630	3	634	5	650	16
75	0.46	0.8093	0.82	600	3	602	5	611	17
29	0.49	0.8680	1.00	631	3	635	6	646	21

22				
23				
24	0.0619			
25	0.0517	0.0014		
26	0.0547	0.0016	0.282267	0.00001





a Petrology

geology from

coquinas

2012, 47(5)

abundant

geochemical

fission

isotopic

framework

one-way

isotopic

Chin

cou

e in

the

er

in

In

t

i

i

o

i

i

i

i

i

i

i

i

i

i

i

i

i

i

i

i

i

i

i

i

i

i

i

i

i

i

i

i

i

i

i

i

i

i

i

i

i

i

i

i

i

i

i

i

i

i

i

i

i

i

i

i

i

i

i

i

i

i

i

i

i

i

i

i

i

i

i

i

i

i

i

i

i

i

i

i

i

i

i

i

i

i

i

i

i

i

i

i

i

i

i

i

i

i

i

i

i

i

i

i

i

i

i

i

i

i

i

i

i

i

i

i

i

i

i

i

i

i

i

i

i

i

i

i

i

i

i

i

i

i

i

i

i

i

i

i

i

i

i

i

i

i

i

i

i

i

i

i

i

i

i

i

i

i

i

i

i

i

i

i

i

i

i

i

i

i

i

i

i

i

i

i

i

i

i

i

i

i

i

i

i

i

i

i

i

i

i

i

i

i

i

i

i

i

i

i

i

i

i

i

i

i

i

i

i

i

i

i

i

i

i

i

i

i

i

i

i

i

i

i

i

i

i

i

i

i

i

i

i

i

i

i

i

i

i

i

i

i

i

i

i

i

i

i

i

i

i

i

i

i

i

i

i

i

i

i

i

i

i

i

i

i

i

i

i

i

i

i

i

i

i

i

i

i

i

i

i

i

i

i

i

i

i

i

i

i

i

i

i

i

i

i

i

i

i

i

i

i

i

i

i

i

i

i

i

i

i

i

i

i

i

i

i

i

i

i

i

i

i

i

i

i

i

i

i

i

i

i

i

i